

2型猪链球菌中国强毒株 05ZYH33 *ofs N*片段基因敲除株的构建

史沛举^{1,2}, 郝喜娜^{1,2}, 葛俊超^{1,2}, 王长军², 王晶², 潘秀珍^{1,2}, 唐家琪²

(1 南京师范大学生命科学学院, 江苏南京 210046)

(2 南京军区军事医学研究所, 江苏南京 210002)

[摘要] 通过生物信息学分析 2型猪链球菌 (*Streptococcus suis* serotype 2, *S. suis* 2) 中国强毒株 05ZYH 33 的基因组, 预测并发现猪链球菌血清浑浊因子 (Opacity factor of *S. suis* OFS) 的编码基因 *ofs*。为了构建 *ofs N*-末端片段 *ofs*³⁷⁻⁶⁸³ 的基因敲除株, 首先构建中间为壮观霉素抗性基因, 两侧为 *ofs*³⁷⁻⁶⁸³ 上下游同源序列的基因敲除质粒, 并对该质粒进行 PCR 和酶切鉴定。根据同源重组的原理, 通过电转化方法筛选得到 *ofs*³⁷⁻⁶⁸³ 基因敲除株。PCR 测序和 RT-PCR 分析结果均显示 *ofs*³⁷⁻⁶⁸³ 已完全被壮观霉素抗性基因替代, 证实 *ofs*³⁷⁻⁶⁸³ 基因敲除株构建成功。该敲除株的获得为进一步研究 *ofs* 在猪链球菌 2型致病机制中的作用奠定基础。

[关键词] 2型猪链球菌, *ofs*, 基因敲除株

[中图分类号] R378 1+2 [文献标识码] A [文章编号] 1001-4616(2009)02-0087-06

Deletion of the N-terminal Fragment of *ofs* Gene in *Streptococcus suis* Serotype 2 Chinese Highly Virulent Strain 05ZYH33

Shi Peijū^{1,2}, Hao Xina^{1,2}, Ge Junchao^{1,2}, Wang Changjun²,
Wang Jing², Pan Xizhen^{1,2}, Tang Jiaqi²

(1. School of Life Sciences Nanjing Normal University, Nanjing 210046, China)

(2. Institute of Military Medical Sciences Nanjing Command, Nanjing 210002, China)

Abstract The gene of Opacity factor of *S. suis* (*ofs*) was predicted in the genome of *Streptococcus suis* serotype 2 (*S. suis* 2) Chinese highly virulent strain 05ZYH 33 and its protein structure was characterized with Bioinformatics tools. To delete the N-terminal fragment of *ofs* in 05ZYH 33, recombinant gene knock-out plasmid with a *Spc'* cassette flanked with homologous arms was constructed. The plasmid was confirmed by PCR and restriction enzyme digestion. According to the principle of homologous recombination, the isogenic *ofs*³⁷⁻⁶⁸³ deficient mutant was screened through electroporation transformation. PCR amplification, sequencing of its product and RT-PCR analysis confirmed that the target gene was replaced by *Spc'* cassette. This mutated 05ZYH 33 provided a potent tool for assessing the role of *ofs* in the *S. suis* 2 infection.

Key words *streptococcus suis* serotype 2, *ofs*, gene knock-out mutant

2型猪链球菌 (*Streptococcus suis* serotype 2, *S. suis* 2) 是一种重要的人兽共患病病原体。*S. suis* 2 不仅可感染猪导致关节炎、脑膜炎、败血症等甚至急性死亡, 还可通过伤口等传播途径感染人使人患脑膜炎、败血病等疾病, 对养猪业及相关从业人员均造成严重威胁^[1,2]。1998年和2005年我国江苏省和四川省分别暴发了大规模 *S. suis* 2 感染猪和人的公共卫生事件^[3], 引起了国内外研究者的高度重视^[4]。为了更好地对 *S. suis* 2 的致病性进行研究, 本课题组前期工作已完成了对 1998 年江苏流行的强毒株 98SHAH 12、2005 年四川流行的强毒株 05ZYH 33 的全基因组测序, 对基因组进行了注释^[5]并开展了新的毒力相关因子的研究工作^[6,7]。2006 年 Baums 等^[8]报道了 *S. suis* 2 的一种新的毒力因子——猪链球菌血清浑浊因子 (Opacity

收稿日期: 2008-11-02

基金项目: 国家自然科学基金 (30730081, 30600533, 30670105)、江苏省自然科学基金 (BK 2007013, BK 2008066)、南京军区医学科技创新课题 (07Z045)、南京军区卫生专业人才培养“122”工程项目。

通讯联系人: 潘秀珍, 博士, 研究员, 研究方向: 自然疫源性疾病病原学。E-mail panxizhen_2004@163.com

factor of *S. suis* *ofs*). 为了研究中国强毒株 05ZYH 33 中是否存在 *ofs* 编码基因, 我们通过生物信息学分析 05ZYH 33 全基因组序列, 发现在基因组中存在 *ofs* 编码基因。本研究以 05ZYH 33 为对象, 通过同源重组方法获得了 *ofs* 的 N-末端功能区域 *ofs*³⁷⁻⁶⁸³ 的基因敲除株(命名为 $\Delta\text{ofs}^{37-683}$), 为进一步研究 *ofs* 在 *S. suis* 2 致病机制中的作用奠定了基础。

1 材料和方法

1.1 菌株、质粒及引物

本实验所用的菌株、质粒及引物见表 1, 引物由上海赛百盛基因技术有限公司合成。

表 1 实验所用的菌株、质粒及引物

Table 1 Bacterial strains, plasmids and primers used in this study

菌株、质粒及引物	表型及相关特征	来源
菌株	05ZYH 33 血清型 2 型, 强毒株, <i>ofs</i> ^r	本室保存
	$\Delta\text{ofs}^{37-683}$ 血清型 2 型, <i>Spc</i> ^r , <i>ofs</i> ³⁷⁻⁶⁸³ -	本研究构建
	m utant1 血清型 2 型, <i>Spc</i> ^r , <i>Amp</i> ^r , <i>ofs</i> ³⁷⁻⁶⁸³ -	本研究构建
	<i>E. coli</i> DH 5 α <i>dacR</i> , <i>recA</i> , <i>endA</i> , <i>hsdR</i> , <i>supE</i> , <i>thi</i> , <i>gyrA</i> , <i>relA</i>	本室保存
质粒	pMD-18T T载体, <i>lacZ</i> , <i>Amp</i> ^r	Takara
	pUC18 <i>E. coli</i> 克隆载体, <i>lacZ</i> , <i>Amp</i> ^r	本室保存
	pSET2 <i>E. coli</i> - <i>S. suis</i> 穿梭质粒, <i>Spc</i> ^r	Takanatsu et al (2001)
引物	pUC 18- LSR <i>ofs</i> ³⁷⁻⁶⁸³ 基因敲除质粒, <i>Amp</i> ^r , <i>Spc</i> ^r	本研究构建
	L1 GA ATT CAG CCTA GTATA GATTGA CA (下划线为引入的 <i>Eco</i> R I 酶切位点)	
	L2 GGATCCAAGA GACTGGAAA ACC (下划线为引入的 <i>Bam</i> H I 酶切位点)	
	R1 CTG CAGA AGGCAGAAAA TAGAA G (下划线为引入的 <i>Pst</i> I 酶切位点)	
	R2 AAG CTTTA TCTGTG CATG ATAGTGG (下划线为引入的 <i>Hind</i> III 酶切位点)	
	Spc1 GGATCCGTCGTGAATACA TGTTATA (下划线为引入的 <i>Bam</i> H I 酶切位点)	
	Spc2 CTG CA GGTCTTCTAAAATCTGAT (下划线为引入的 <i>Pst</i> I 酶切位点)	
	N1 TTCA AGCGAATCTA CTA AGCTC	
	N2 GA CA CGG TTGAGA AGCTTTCA C	
	OUT1 CTA GTCATGACCA CCCGTGAAAA C	
	OUT2 GTA GAGCAAAA TGCA GAGCCATC	
	For CCTGAGG CATTACGAATG AAA	
	Rev TCA TTAA GGTAA CT CTGGTG	

1.2 主要试剂和仪器

Ex Taq DNA 聚合酶、DNA 限制性内切酶、T4 DNA 连接酶、质粒 DNA 抽提试剂盒、RT-PCR 试剂盒均为 TaKaRa 公司产品; 胶回收试剂盒、RNA 提取试剂盒均为 Promega 公司产品; Todd Hewitt Broth (THB) 培养基购于 Difco 公司; Gene Pulser X cell™ 型电穿孔仪为 B I D - R A D 公司产品; Ultrospec2000 型紫外分光光度计为 Pharmacia 公司产品。

1.3 *ofs* 基因的生物信息学分析

用 BLAST 和 ClustalW 程序筛选 05ZYH 33 全基因组序列中可能存在的 *ofs* 编码基因。将 *ofs* 序列与化脓性链球菌血清浑浊因子 (Serum opacity factor, SOF) 和停乳链球菌纤连蛋白结合蛋白 A (Fibronectin binding protein A, FnBA) 的序列进行比对, 并用 SignalP 3.0 Server, EMBOSSw in 等软件分析其结构特点。

1.4 基因敲除质粒的构建

以 05ZYH 33 基因组 DNA 为模板, 分别用引物 L1/L2, R1/R2 进行 PCR 扩增 *ofs*³⁷⁻⁶⁸³ 的上、下游片段 L 和 R; 同时以 pSET2 质粒为模板, 用引物 Spc1/Spc2 进行 PCR, 扩增壮观霉素抗性基因 (*Spc*^r cassette)。将这 3 个片段分别装入 T 载体后, 根据引入的相应酶切位点, 通过酶切和连接反应, 将它们依次连接到 pUC18 载体的 *Eco*R I, *Bam*H I, *Pst*I 和 *Hind* III 4 个多克隆位点上, 形成一个 *Spc*^r 基因两侧具有与 *ofs*³⁷⁻⁶⁸³ 上下游同源序列的基因敲除质粒 pUC18-LSR 如图 1 所示。

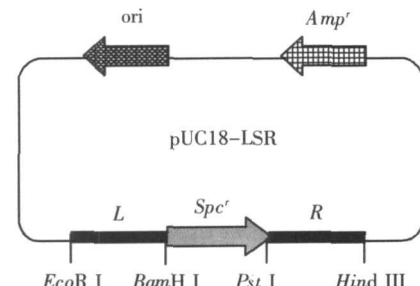


Fig.1 Construction of gene knock-out plasmid pUC18-LSR

1.5 基因敲除株的筛选

参照 Smith 等^[9]的方法制备 05ZYH 33 感受态细菌。在 21.5 kV/cm、200 Ω 和 25 μF 电转参数下, 取基因敲除质粒 pUC18-LSR 5 μL 电转化感受态细菌, 电转结束后将菌液涂布于 THB 平板(含 100 μg/mL 壮观霉素), 37℃培养 48 h 后, 挑取所有的单菌落进行增菌培养并取菌液 2 μL 作模板, 用引物 IN1/N2(位于 *ofs*³⁷⁻⁶⁸³ 内部, 产物大小 966 bp) 进行 PCR 初步筛选。如果 *ofs*³⁷⁻⁶⁸³ 被敲除, PCR 扩增应呈阴性结果, 否则说明 *ofs*³⁷⁻⁶⁸³ 未被敲掉。

1.6 基因敲除株的鉴定

1.6.1 PCR 和测序鉴定

根据王花茹等^[10]的方法分别以 05ZYH 33 和敲除株的基因组为模板进行多重 PCR 扩增, 鉴定 2 型猪链球菌菌株。分别于 *ofs*³⁷⁻⁶⁸³ 上、下游片段 L 和 R 的两侧再设计一对引物 OUT1/OUT2, 引物的位置如图 2 所示。分别用引物 IN1/N2, Spc1/Spc2, OUT1/Spc2, Spc1/OUT2 对野生株和敲除株进行 PCR 扩增。用引物 OUT1/OUT2 对敲除株进行 PCR 扩增, 并将 OUT1/OUT2 的扩增产物送至金思特公司测序。

1.6.2 RT-PCR 鉴定

为了进一步验证敲除株的正确性, 提取野生株和敲除株的总 RNA, 进行 RT-PCR 鉴定。根据试剂盒的操作说明分别提取 05ZYH 33 和 Δ *ofs*³⁷⁻⁶⁸³ 的总 RNA 并进行反转录。在 *ofs*³⁷⁻⁶⁸³ 的上、下游设计引物 For/Rev, 以 For/Rev 分别对所提取的总 RNA 及经 RNA 反转录得到的 cDNA 进行 PCR 扩增。

2 结果

2.1 *ofs* 基因的生物信息学分析

用 BLAST 和 ClustalW 程序筛选 05ZYH 33 全基因组序列, 发现 05SSU1663 为 *ofs* 的同源序列。*ofs* 的结构具有以下特点: N-末端有信号肽序列并且有一段与 SOF 同源的区域; C-末端有重复序列和 LPXTG 锚定位点(图 3A)。利用 SignalP 3.0 对 *ofs* 的信号肽序列进行预测, 提示切割位点在 N-末端的 33 和 34 两

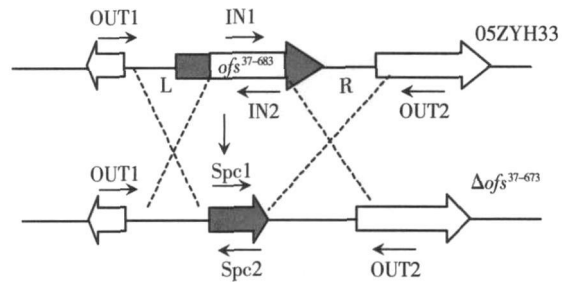


图 2 引物设计示意图

Fig.2 Primer design



B	序列比对结果
SOF	NPKDKDLFDVKREVKDNGDGTLVTLKVMKPQI DEGADVMALLDVSQKMTKENFDKAKEQ 240
FnBA	DGNQRDIFDISRDVKVNQDGTMVDTLVTPKPKQIDE GAEVIVLLDTSQKMTETDFNTAKEN 233
OFS	DKTPKELFTVSRSTAEGQGDGVVTVTQIVPK EIDKGAEIVVLDVTDYKKMDEEAKKAKD 157
	: . : : * . . * : . ** : * : * : * : : . : * : . : * : :
SOF	IKKMVTTLTGE P-TDGK--ENHNRRNSVRMLTFYRKVSDPIELT---TKNVDALKLEVWD 294
FnBA	IKKLVTTLTGT TDKEGKNVSHYNNRNSVRIDL FYRKVGESTDLSGWDAK KIDEKLNEVWK 293
OFS	IVKLVKEMTDPT -----NNHNSRNSVRIVGFNRKLSEA QEVN---SITVEDTVEKLFT 207
	* * : * . : * . : : * : * : * : * : . : : . : : . : :
SOF	QAKKDWD-WGV DLQGAIHKAREIFK--KEKKS KKRQHIVL FSQGESTFSYDIHNKSDSKI 351
FnBA	KAKDDYNGWGV DLQGAIHKAREIFNLDKEKRS GKRQHIVL FSQGESTFSYDIKDKS--KM 351
OFS	DAEQNYN-WGV DMQGAIHEARRILE--SEKSGRKHIVL SQGESTFSYDL TDAAKTET 263
	* : . : : * : * : * : * : * : * : * : * : * : * : * : :
SOF	LKTRVNEN-ITTSNP LPWLP I FNHTNRKADM DDKVLYKILWGEKLGIEGLNDL DNTLKL 410
FnBA	DKVAVEEP-VTYSNP LPWPFWYDFTTTRTHVN VNDAKKL IDFLNKL G ISQFNGAVDNVAT 410
OFS	KYKTINEDKV VHTNPLLPWPFTFDVTVRRANLLKDAKSLIEFLNKL GITRFNEALDGVST 323
	: : * . : * : * : * : * : * : * : * : * : * : * : * : :
SOF	AGAASGIVGGFLGGGSLTE YLSLKEYQSDRLN ASQFN YERRVGE GYYHSF SERKTAEMP 470
FnBA	VGN TLLGLGSF GFLKNPLDYISLAD LETSKLN SEKF DYSR RVGE GYNFR SYFDREVDKVG 470
OFS	VAGLTDFIGKFFR--NPLDYIDLADIDSSKLE E QFKNYEKQI GE GYHFRSFYERKLDPLP 381
	* : * : . : * : * : * : * : * : * : * : * : * : :

图 3 OFS 结构分析及序列比对

Fig.3 Structure analysis and sequence alignment of OFS

个氨基酸之间。*ofs*³⁷⁻⁶⁸³与SOF和FnBA的N-末端区域有较高的同源性。用ClustalW对它们的序列进行比对,比对结果提示,*ofs*(97-683)与SOF(181-802)的同源性达34%;与FnBA(174-789)的同源性达40%。*ofs*与SOF和FnBA N-末端部分序列的比对结果见图3B,阴影部分为同源性较高的区域。

2.2 *ofs*³⁷⁻⁶⁸³基因敲除质粒的构建

以05ZYH33基因组DNA为模板,用引物L1/L2,R1/R2成功扩增出*ofs*³⁷⁻⁶⁸³的上游片段L(1006 bp)和下游片段R(994 bp),同时用引物Spc1/Spc2从pSET2质粒中扩增出*Spc*'基因(1130 bp)。对构建好的重组质粒进行PCR及双酶切验证,结果见图4对重组质粒进行测序,结果均显示3个片段连接次序正确,重组质粒构建成功。

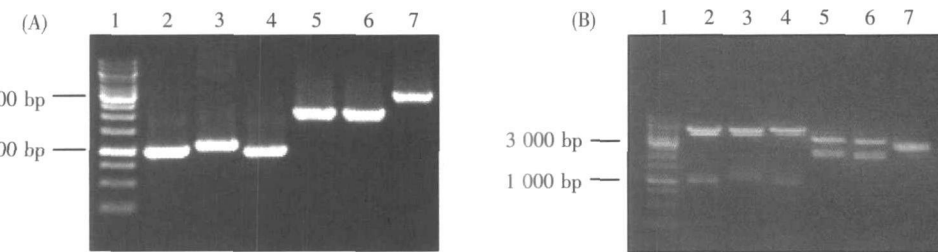


图4 重组质粒pUC18-LSR的PCR和酶切验证

Fig.4 PCR and enzyme digestion identification of plasmid pUC18-LSR

(A) Gel electrophoresis of PCR product 1: 1 kb DNA ladder marker 2: PCR products with L1/L2 3: PCR products with Spc1/Spc2 4: PCR products with R1/R2 5: PCR products with L1/Spc2 6: PCR products with Spc1/R2 7: PCR products with L1/R2

(B) Restriction analysis of plasmid pUC18-LSR 1: 1 kb DNA ladder marker 2: pUC18-LSR digested by *Eco*RI and *Bam*H I, 3: pUC18-LSR digested by *Bam*H I and *Pst*I, 4: pUC18-LSR digested by *Pst*I and *Hind*III, 5: pUC18-LSR digested by *Eco*RI and *Pst*I, 6: pUC18-LSR digested by *Bam*H I and *Hind*III, 7: pUC18-LSR digested by *Eco*RI and *Hind*III.

2.3 *ofs*³⁷⁻⁶⁸³基因敲除株的筛选

将构建好的基因敲除质粒电转化S.suis 05ZYH33感受态细菌,涂壮观霉素抗性THB平板,挑取单菌落进行PCR筛选。多次电转化并挑取所有的单菌落进行PCR筛选。菌液PCR共筛选253个单菌落,其中252为单向插入突变菌株,在一组菌液PCR中,发现一株扩增结果为阴性(图5泳道3),挑出该泳道对应的菌株,重命名为 Δ *ofs*³⁷⁻⁶⁸³,作进一步验证。

2.4 基因敲除株 Δ *ofs*³⁷⁻⁶⁸³的鉴定

2.4.1 PCR和测序鉴定

分别以05ZYH33和 Δ *ofs*³⁷⁻⁶⁸³基因组为模板进行多重PCR扩增,均可以同时扩增出2型猪链球

菌的CPS、MRP、Slx、EF4种毒力相关因子的基因片段。基因片段大小依次为557 bp、626 bp、744 bp、970 bp。结果表明两者均为2型猪链球菌。在敲除株中,分别用引物OUT1/Spc2、Spc1/OUT2和Spc1/Spc2进行PCR,能够扩增出预计的2332 bp、2250 bp的目的片段和*Spc*'基因;而在05ZYH33中,用以上引物进行PCR都得到阴性结果。以05ZYH33基因组为模板,用引物N1/N2能扩增出966 bp的目的片段,而在敲除株中用引物N1/N2进行PCR,结果为阴性。结果各PCR产物的大小与理论值相符(图6)。敲除株中OUT1/OUT2的PCR产物送公司测序,结果经序列比对发现原本应是*ofs*³⁷⁻⁶⁸³基因所在的位置被*Spc*'序列代替,提示目的基因已被*Spc*'基因置换,说明已发生了等位基因置换。

2.4.2 敲除株 Δ *ofs*³⁷⁻⁶⁸³的RT-PCR鉴定

以*ofs*³⁷⁻⁶⁸³的上下游引物For/Rev分别对05ZYH33和敲除株的总RNA进行扩增,扩增结果均为阴性,说明RNA没有被DNA污染。以反转录得到的cDNA为模板进行PCR扩增,在野生株05ZYH33中,结果为

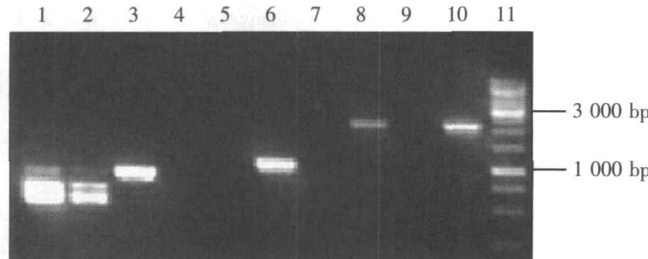


1: Mutant 1, 2: Mutant 2, 3: Mutant 3, 4: Mutant 4, 5: Mutant 5, 6: Mutant 6, 7: Mutant 7, 8: Mutant 8, 9: Mutant 9, 10: Positive control, 11: Negative control, 12: 1 kb DNA ladder marker

图5 *ofs*³⁷⁻⁶⁸³基因敲除株的部分PCR初步筛选结果

Fig.5 Preliminary PCR screening of gene knock-out mutant of *ofs*³⁷⁻⁶⁸³

阳性, 说明 *ofs*³⁷⁻⁶⁸³ 基因正常转录; 而在 $\Delta\text{ofs}^{37-683}$ 中为阴性, *ofs*³⁷⁻⁶⁸³ 基因不能正常转录。从转录水平上证明了 *ofs*³⁷⁻⁶⁸³ 确实已经不存在。(图 7)。



1: SS2 primer mixture PCR amplification using 05ZYH33 genomic DNA as template, 2: SS2 primer mixture PCR amplification using $\Delta\text{ofs}^{37-683}$ genomic DNA as template, 3: IN1/IN2 PCR amplification using 05ZYH33 genomic DNA as template, 4: IN1/IN2 PCR amplification using $\Delta\text{ofs}^{37-683}$ genomic DNA as template, 5: Spc1/Spc2 PCR amplification using 05ZYH33 genomic DNA as template, 6: Spc1/Spc2 PCR amplification using $\Delta\text{ofs}^{37-683}$ genomic DNA as template, 7: OUT1/Spc2 PCR amplification using 05ZYH33 genomic DNA as template, 8: OUT1/Spc2 PCR amplification using $\Delta\text{ofs}^{37-683}$ genomic DNA as template, 9: Spc1/OUT2 PCR amplification using 05ZYH33 genomic DNA as template, 10: Spc1/OUT2 PCR amplification using $\Delta\text{ofs}^{37-683}$ genomic DNA as template, 11: 1kb DNA ladder marker.

图 6 基因敲除株 $\Delta\text{ofs}^{37-683}$ 的 PCR 验证

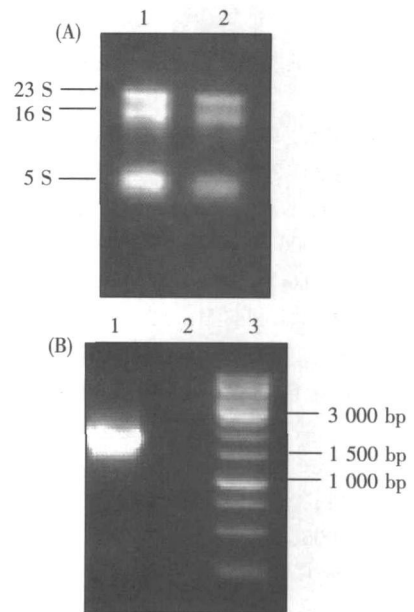
Fig.6 PCR identification of gene knock-out mutant $\Delta\text{ofs}^{37-683}$

3 讨论

早期研究表明, 与 *S. suis* 2致病性相关的毒力因子主要有荚膜多糖 (Capsular polysaccharide, CPS)、溶菌酶释放蛋白 (M uramidase-released protein, M RP)、胞外因子 (Extracellular factor, EF)、溶血素 (Sulysin, SLY) 等^[11-12]。目前, 荚膜多糖为唯一明确的毒力因子^[13-14]。猪链球菌致病的具体机制仍不清楚, 一些潜在的毒力因子还在不断的被发现中。

Baum 等^[8]研究证实, *ofs* 是一种新的与 *S. suis* 2的致病性相关的毒力因子。序列分析显示, *ofs* 与 SOF 和 FnBA 具有相似的结构, 都具有 N-末端的信号肽序列、重复序列元件和 C-末端的 LPXTG 锚定位点, 且它们的 N-末端区域有较高的同源性。Timmer 等^[15]研究表明, SOF 的 N-末端功能区域不仅能够使哺乳动物血清变浑浊, 还能够提高细菌对细胞的侵染, 在化脓性链球菌的致病机理中具有重要作用。本研究结果表明, *ofs* N-末端功能区域 *ofs*³⁷⁻⁶⁸³ 与 SOF 和 FnBA 的 N-末端功能区域有较高的同源性。*ofs*³⁷⁻⁶⁸³ 在猪链球菌感染中是否也发挥类似的作用有待进一步研究。Baum 等^[8]通过同源重组的方法构建了 *ofs* 全长的敲除株, 与 *S. suis* 2野生株相比, *ofs* 全长敲除株丧失了使哺乳动物血清变浑浊的功能且毒力明显减弱。Baum 等^[7]还制备了 *ofs* N-末端功能区域的重组蛋白, 实验表明该蛋白能够使哺乳动物的血清变浑浊。该蛋白使哺乳动物血清变浑浊的特性是否与其致病性直接相关, 还有待研究。

本研究利用同源重组基因敲除方法成功构建了中国强毒株 05ZYH 33 毒力因子 *ofs* N-末端片段 *ofs*³⁷⁻⁶⁸³ 的基因敲除株。为进一步研究 *ofs* N-末端功能区域在 *S. suis* 2致病机制中的作用奠定了基础。下一步我们将通过血清浑浊实验、小鼠致病性试验等进一步研究 *ofs*³⁷⁻⁶⁸³ 的功能。



(A) 1: RNA of 05ZYH33, 2: RNA of $\Delta\text{ofs}^{37-683}$ (B), 1: For/Rev PCR amplification using cDNA of 05ZYH33, 2: For/Rev PCR amplification using cDNA of $\Delta\text{ofs}^{37-683}$ as template, 3: 1kb DNA ladder marker.

图 7 基因 *ofs*³⁷⁻⁶⁸³ 的 RT-PCR 分析

Fig.7 RT-PCR analysis of gene *ofs*³⁷⁻⁶⁸³

[参考文献]

- [1] Staats J J, Feder I, Okwumabua O, et al. *Streptococcus suis*: past and present [J]. *Vet Res Commun*, 1997, 21(6): 381-407.
- [2] Lun Z R, Wang Q P, Chen X G, et al. *Streptococcus suis*: an emerging zoonotic pathogen [J]. *Lancet Infect Dis*, 2007, 7(3): 201-209.
- [3] Tang J, Wang C, Feng Y, et al. Streptococcal Toxic Shock Syndrome Caused by *Streptococcus suis* Serotype 2 [J]. *PLoS Med*, 2006, 3(5): e151.
- [4] Sriskandan S, Slater J D. Invasive Disease and Toxic Shock due to Zoonotic *Streptococcus suis*: An Emerging Infection in the East [J]. *PLoS Med*, 2006, 3(5): e187.
- [5] Chen C, Tang J, Dong W, et al. A Genome of Streptococcal Toxic Shock Syndrome from Comparative Genomics of *S. suis* 2 Chinese Isolates [J]. *PLoS ONE*, 2007, 2(3): e315.
- [6] 孙雯, 潘秀珍, 王长军, 等. 猪链球菌 2型烯醇化酶的分子克隆与免疫学特性 [J]. 微生物学通报, 2008, 35(1): 15-19.
- [7] 赵华梅, 潘秀珍, 王长军, 等. 猪链球菌 2型谷氨酸脱氢酶基因的克隆表达及酶活性测定 [J]. 中国人兽共患病学报, 2006, 22(1): 22-25.
- [8] Baum C G, Kain U, Fuhrle M, et al. Identification of a novel virulence determinant with serum opacification activity in *Streptococcus suis* [J]. *Infection and Immunity*, 2006, 74(11): 6154-6162.
- [9] Smith H E, Wisseklink H J, Vecht U, et al. High-efficiency transformation and gene inactivation in *Streptococcus suis* type 2 [J]. *Microbiology*, 1995, 141(1): 181-188.
- [10] 王花茹, 王长军, 唐家琪, 等. 猪链球菌种及其主要致病血清型多重 PCR 检测方法的建立 [J]. 畜牧兽医学报, 2008, 39(6): 837-841.
- [11] Segura M, Gottschalk M, Olivier M. Encapsulated *Streptococcus suis* inhibits activation of signaling pathways involved in phagocytosis [J]. *Infection Immunity*, 2004, 72(9): 5322-5330.
- [12] Staats J J, Plattner B L, Stewart G C, et al. Presence of the *Streptococcus suis* slyS gene and expression of MRP and EF correlates with high virulence in *Streptococcus suis* type 2 isolates [J]. *Vet Microbiol*, 1999, 70(3/4): 201-211.
- [13] Charland N, Harel J, Kobisch M, et al. *Streptococcus suis* serotype 2 mutants deficient in capsular expression [J]. *Microbiology*, 1998, 144(2): 325-332.
- [14] Smith H E, Dammann M, van der Velde J, et al. Stockhofe-Zurwieden N, Smits M A. Identification and characterization of the cps locus of *Streptococcus suis* serotype 2: the capsule protects against phagocytosis and is an important virulence factor [J]. *Infection Immunity*, 1999, 67(4): 1750-1756.
- [15] Timmer A M, Kristian S A, Datta V, et al. Serum opacity factor promotes group A streptococcal epithelial cell invasion and virulence [J]. *Microbiology*, 2006, 62(1): 15-25.

[责任编辑:孙德泉]